# 高侧和低侧栅极驱动器

# FAN7842

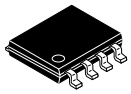

**SOIC8**
**(8−SOP)**
**CASE 751EG**

**MARKING DIAGRAM**

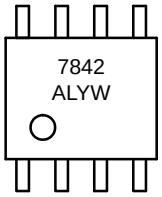


7842 = Specific Device Code
A = Assembly Site
L = Wafer Lot Number
YW = Assembly Start Week

**ORDERING INFORMATION**

See detailed ordering and shipping information on page 11 of this data sheet.

## 说明

FAN7842 是单片高侧和低侧栅极驱动 IC，可以驱动工作电压最高达 +200 V 的 MOSFET 和 IGBT。

**onsemi** 的高压工艺和共模噪声消除技术可使高侧驱动器在高 dv/dt 噪声环境下稳定运行。先进的电平转换电路允许高侧驱动器的工作偏置电压达 $V_S$ = −9.8 V (典型值)，当 $V_{BS}$ = 15 V 时. 输入逻辑电平与标准 TTL 系列逻辑门兼容。

当 $V_{CC}$ 和 $V_{BS}$ 小于指定阈值电压时，两个通道的欠压锁定 (UVLO) 电路可防止发生故障。输出驱动器电路 (源电流 / 灌电流) 典型值分别为 350 mA/650 mA。

## 特性

- 浮动通道专为高达 +200 V 的自举运行而设计
- 两个通道的源 / 灌电流驱动能力典型值为
- 350 mA/650 mA
- 共模 dv/dt 噪声消除电路
- 在 $V_{CC}$ = $V_{BS}$ = 15 V 时信号传播过程中，扩展允许负
- $V_S$ 摆幅低达 −9.8 V
- $V_{CC}$ 和 $V_{BS}$ 供电范围从 10 V 至 20 V
- 双通道的欠压锁定功能
- 兼容 TTL 的输入逻辑阈值电平
- 匹配传播延迟低于 50 ns
- 输出信号与输入信号同相位
- This Device is Pb−Free, Halide Free and is RoHS Compliant

## 应用

- 基于电池电机的应用 (电动自行车、电动工具)
- 电信的 DCDC 转换器
- 同步降压转换器

## 应用电路图

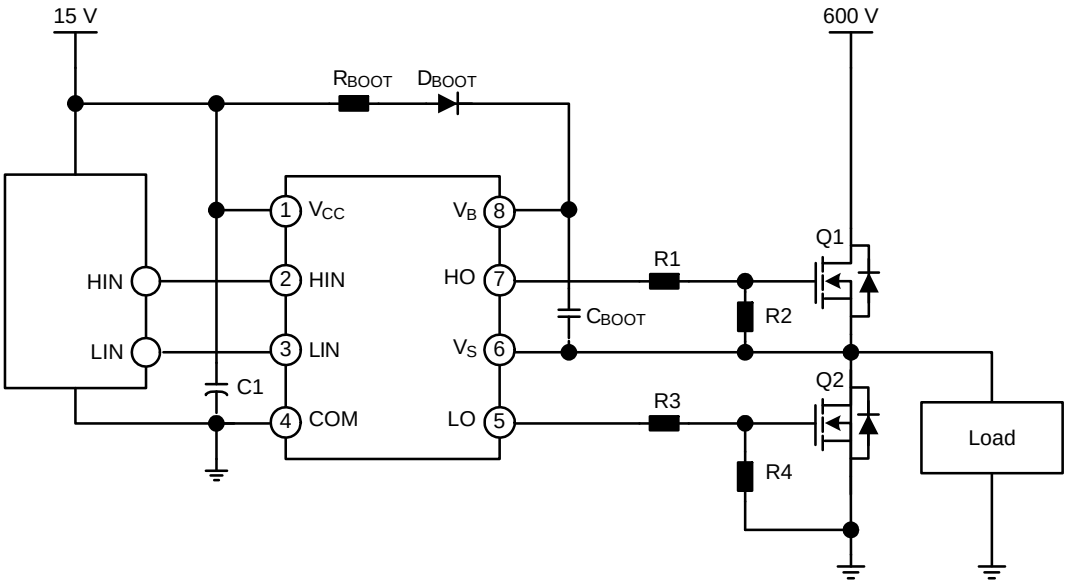


图 1. 半桥应用电路

## 内部框图

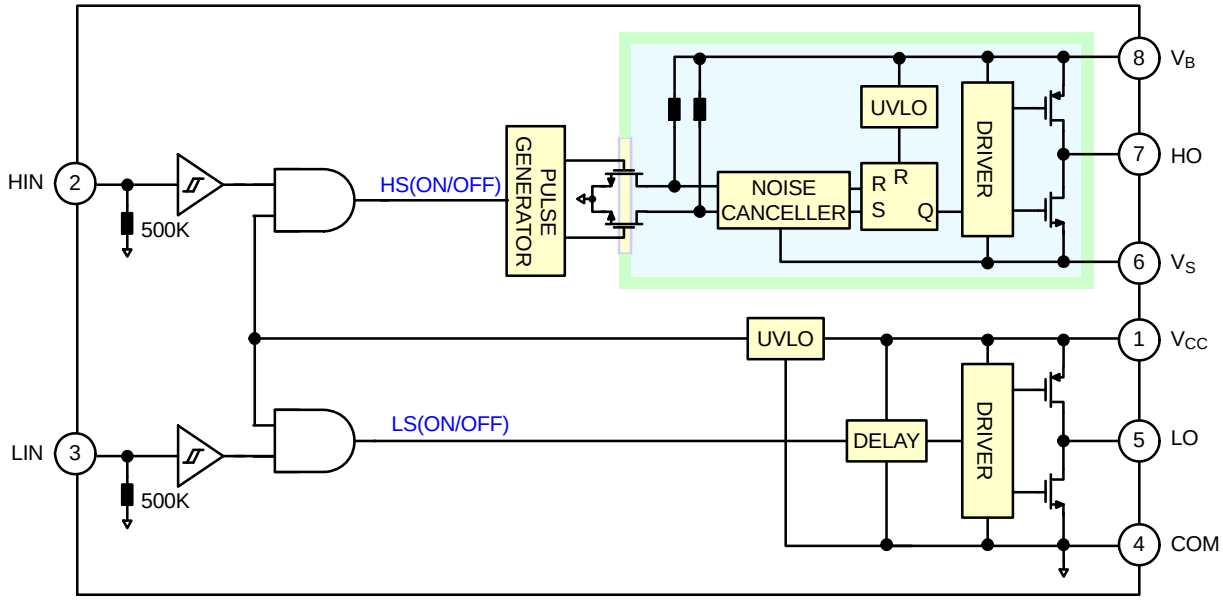


图 2. 功能框图

## 引脚配置

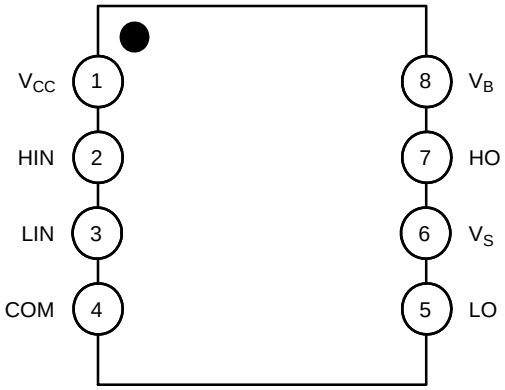


图 3. 引脚配置 (俯视图)

### 引脚定义

| 引脚号 | 名称 | 说明 |
|---|---|---|
| 1 | $V_{CC}$ | 低侧电源电压 |
| 2 | HIN | 高侧栅极驱动器输出的逻辑输入 |
| 3 | LIN | 低侧栅极驱动器输出的逻辑输入 |
| 4 | COM | 逻辑地和低侧驱动器返回 |
| 5 | LO | 低侧栅极输出 |
| 6 | $V_S$ | 高压浮动电源返回 |
| 7 | HO | 高侧驱动输出 |
| 8 | $V_B$ | 高侧浮动电源 |

**绝对最大额定值** (除非另有说明，$T_A$ = 25°C)

| 符号 | 参数 | 最小值 | 最大值 | 单位 |
|---|---|---|---|---|
| $V_S$ | 高侧偏置电压 | $V_B$ − 25 | $V_B$ + 0.3 | V |
| $V_B$ | 高侧浮动电源电压 | −0.3 | 225 | |
| $V_{HO}$ | 高侧浮动输出电压 HO | $V_S$ − 0.3 | $V_B$ + 0.3 | |
| $V_{CC}$ | 低侧和固定逻辑电源电压 | −0.3 | 25 | |
| $V_{LO}$ | 低侧输出电压 LO | −0.3 | $V_{CC}$ + 0.3 | |
| $V_{IN}$ | 逻辑输入电压 (HIN、LIN) | −0.3 | $V_{CC}$ + 0.3 | |
| COM | 逻辑地 | $V_{CC}$ − 25 | $V_{CC}$ + 0.3 | |
| $dV_S/dt$ | 允许的偏置电压变化速率 | − | 50 | V/ns |
| $P_D$ (注 1) (注 2) (注 3) | 功耗 | − | 0.625 | W |
| $\theta_{JA}$ | 结至环境热阻 | − | 200 | °C/W |
| $T_J$ | 结温 | − | 150 | °C |
| $T_{STG}$ | 存储温度 | − | 150 | °C |

Stresses exceeding those listed in the Maximum Ratings table may damage the device. If any of these limits are exceeded, device functionality should not be assumed, damage may occur and reliability may be affected.
(参考译文)
如果电压超过最大额定值表中列出的值范围，器件可能会损坏。如果超过任何这些限值，将无法保证器件功能，可能会导致器件损坏，影响可靠性。

1. 安装到 76.2 x 114.3 x 1.6 mm PCB 板 (FR−4 环氧玻璃材料)。
2. 参考以下标准：
   JESD51−2：集成电路热测试方法环境条件 − 自然对流
   JESD51−3：含铅表面贴装封装的低有效导热系数测试板
3. 在任何情况下，都不要超过 $P_D$。

**推荐工作额定值**

| 符号 | 参数 | 最小值 | 最大值 | 单位 |
|---|---|---|---|---|
| $V_B$ | 高侧浮动电源电压 | $V_S$ + 10 | $V_S$ + 20 | V |
| $V_S$ | 高侧浮动电源偏置电压 | 6 − $V_{CC}$ | 200 | |
| $V_{HO}$ | 高侧 (HO) 输出电压 | $V_S$ | $V_B$ | |
| $V_{LO}$ | 低侧 (LO) 输出电压 | COM | $V_{CC}$ | |
| $V_{IN}$ | 逻辑输入电压 (HIN、LIN) | COM | $V_{CC}$ | |
| $V_{CC}$ | 低侧电源电压 | 10 | 20 | |
| $T_A$ | 环境温度 | −40 | 125 | °C |

Functional operation above the stresses listed in the Recommended Operating Ranges is not implied. Extended exposure to stresses beyond the Recommended Operating Ranges limits may affect device reliability.
(参考译文)
高于推荐工作范围表格中所列电压时，不保证能够正常运行。长时间在推荐工作范围表格中规定范围以外的电压下运行，可能会影响器件的可靠性。

**电气特性** (除非另有说明，$V_{BIAS}$ ($V_{CC}$、$V_{BS}$) = 15.0 V、$T_A$ = 25°C。$V_{IN}$ 和 $I_{IN}$ 参数以 COM 为参考点。参数 $V_O$ 和 $I_O$ 以 $V_S$ 和 COM 作为基准，适用于相应的输出 HO 和 LO。)

| 符号 | 参数 | 条件 | 最小值 | 典型值 | 最大值 | 单位 |
|---|---|---|---|---|---|---|
| $V_{CCUV+}$<br>$V_{BSUV+}$ | $V_{CC}$ 和 $V_{BS}$ 电源欠压正向阈值 | | 8.2 | 9.2 | 10.0 | V |
| $V_{CCUV-}$<br>$V_{BSUV-}$ | $V_{CC}$ 和 $V_{BS}$ 电源欠压负向阈值 | | 7.6 | 8.7 | 9.6 | |
| $V_{CCUVH}$<br>$V_{BSUVH}$ | $V_{CC}$ 电源欠压锁定滞回电压回差 | | – | 0.6 | – | |
| $I_{LK}$ | 偏置电源漏电流 | $V_B$ = $V_S$ = 200 V | – | – | 50 | μA |
| $I_{QBS}$ | $V_{BS}$ 静态电源电流 | $V_{IN}$ = 0 V 或 5 V | – | 45 | 120 | |
| $I_{QCC}$ | $V_{CC}$ 静态电源电流 | $V_{IN}$ = 0 V 或 5 V | – | 70 | 180 | |
| $I_{PBS}$ | $V_{BS}$ 工作电源电流 | $f_{IN}$ = 20 kHz, rms value | – | – | 600 | μA |
| $I_{PCC}$ | $V_{CC}$ 工作电源电流 | $f_{IN}$ = 20 kHz, rms value | – | – | 600 | |
| $V_{IH}$ | 逻辑“1”输入电压 | | 2.9 | – | – | V |
| $V_{IL}$ | 逻辑“0”输入电压 | | – | – | 0.8 | |
| $V_{OH}$ | 高电平输出电压，$V_{BIAS}$–$V_O$ | $I_O$ = 20 mA | – | – | 1.0 | |
| $V_{OL}$ | 低电平输出电压，$V_O$ | | – | – | 0.6 | |
| $I_{IN+}$ | 逻辑“1”输入偏置电流 | $V_{IN}$ = 5 V | – | 10 | 20 | μA |
| $I_{IN-}$ | 逻辑“0”输入偏置电流 | $V_{IN}$ = 0 V | – | 1.0 | 2.0 | |
| $I_{O+}$ | 输出高电平短路脉冲电流 | $V_O$ = 0 V, $V_{IN}$ = 5 V with PW < 10 μs | 250 | 350 | – | mA |
| $I_{O-}$ | 输出低电平短路脉冲电流 | $V_O$ = 15 V, $V_{IN}$ = 0 V with PW < 10 μs | 500 | 650 | – | |
| $V_S$ | IN 信号传播到 HO 时允许的 $V_S$ 引脚负电压 | | – | –9.8 | –7.0 | V |

Product parametric performance is indicated in the Electrical Characteristics for the listed test conditions, unless otherwise noted. Product performance may not be indicated by the Electrical Characteristics if operated under different conditions.
(参考译文)
除非另有说明，“电气特性”表格中列出的是所列测试条件下的产品性能参数。如果在不同条件下运行，产品性能可能与“电气特性”表格中所列性能参数不一致。

**动态电气特性** (除非另有说明， $V_{BIAS}$ ($V_{CC}$、$V_{BS}$) = 15.0 V、$V_S$ = COM、$C_L$ = 1000 pF 且 TA = 25°C。)

| 符号 | 参数 | 工作条件 | 最小值 | 典型值 | 最大值 | 单位 |
|---|---|---|---|---|---|---|
| $t_{on}$ | 导通传播延时 | $V_S$ = 0 V | 100 | 170 | 300 | ns |
| $t_{off}$ | 关断传播延时 | $V_S$ = 0 V or 200 V (注 4) | 100 | 200 | 300 | ns |
| $t_r$ | 导通上升时间 | | 20 | 60 | 140 | ns |
| $t_f$ | 关断下降时间 | | – | 30 | 80 | ns |
| MT | 延时匹配，HS 与 LS 导通/关断 | | – | – | 50 | ns |

4. 该参数由设计保证。

## 典型特性

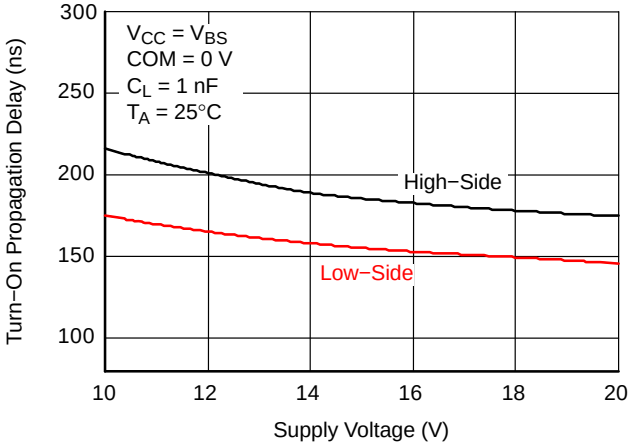


图 4. 导通传播延时与电源电压的关系

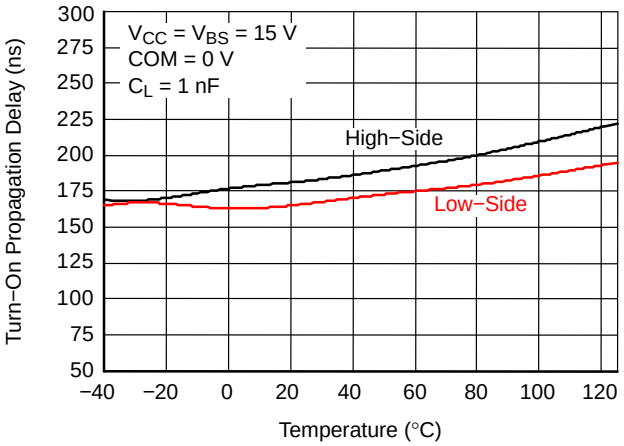


图 5. 导通传输延时与温度的关系

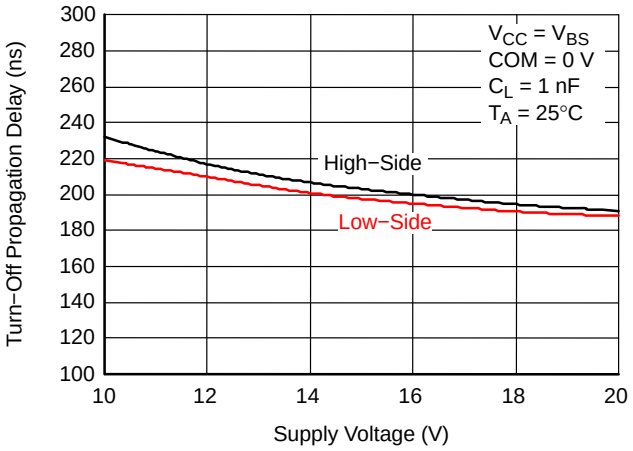


图 6. 关断传播延时与电源电压的关系

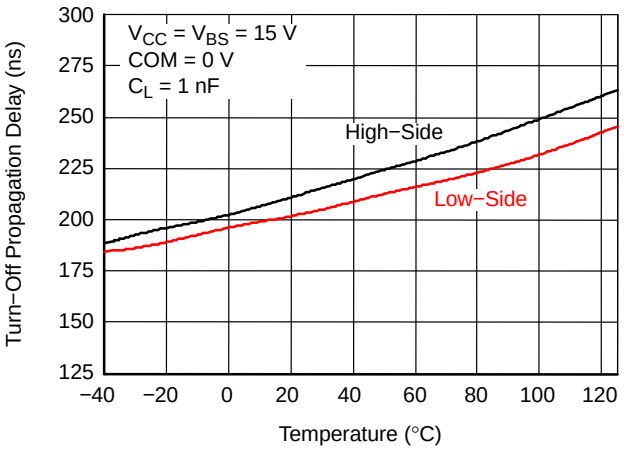


图 7. 关断传播延时与温度的关系

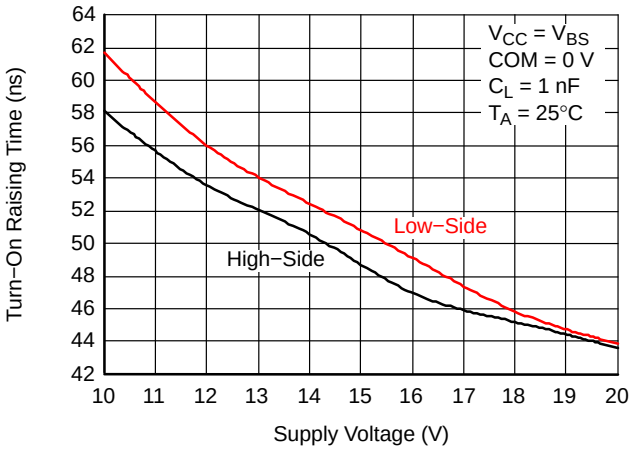


图 8. 导通上升时间与电源电压的关系

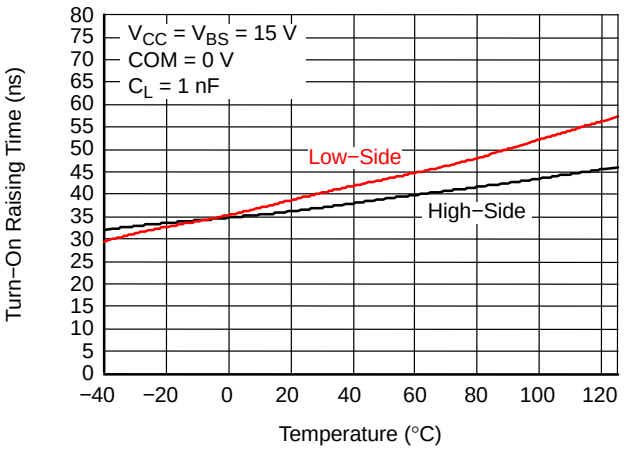


图 9. 导通上升时间与温度的关系

## 典型特性 (续)

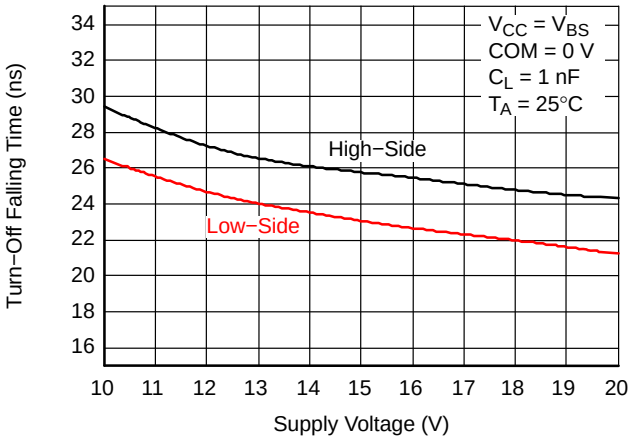


图 10. 关断下降时间与电源电压的关系

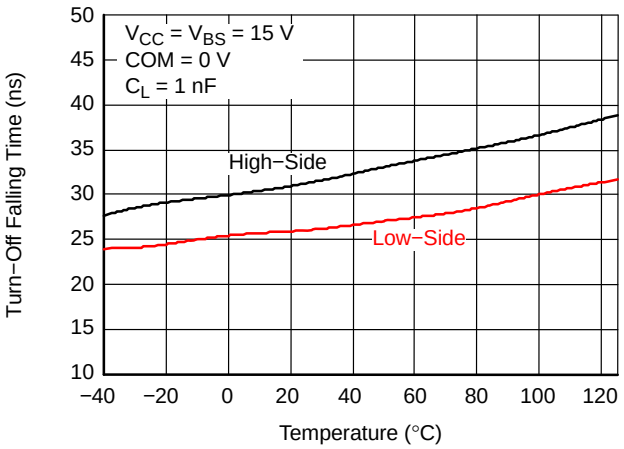


图 11. 关断下降时间与温度的关系

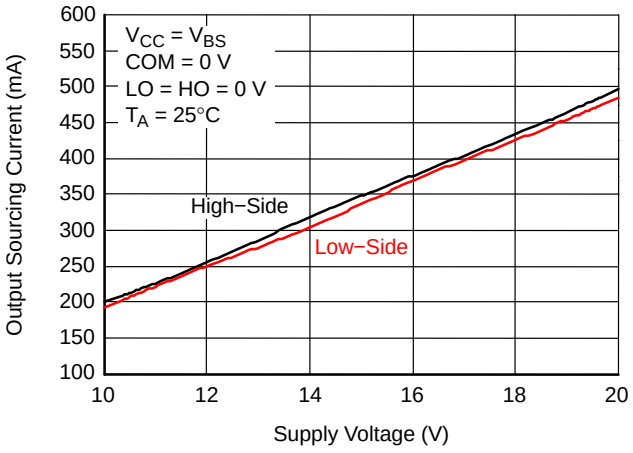


图 12. 输出源电流与电源电压的关系

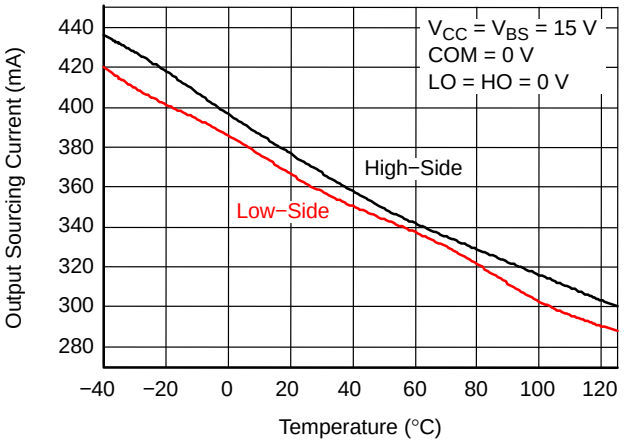


图 13. 输出源电流与温度的关系

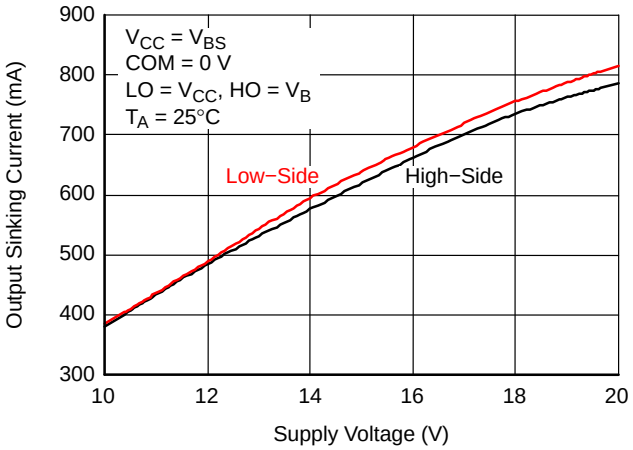


图 14. 输出灌电流与温度的关系

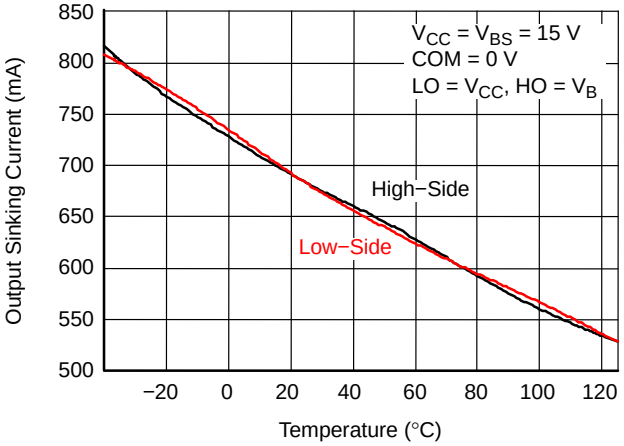


图 15. 输出灌电流与温度的关系

## 典型特性 (续)

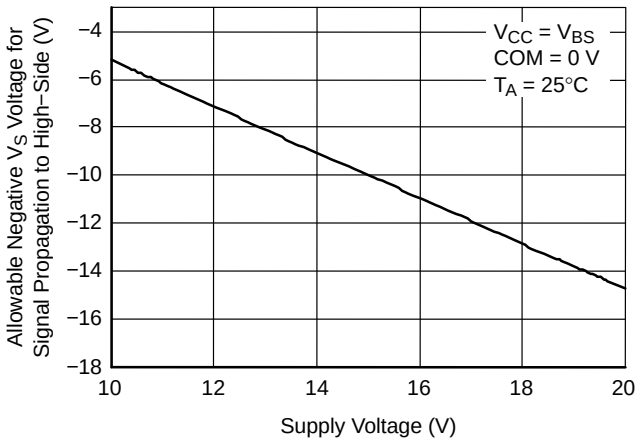


图 16. 信号传播到高侧时允许的 $V_S$ 负电压与电源电压的关系

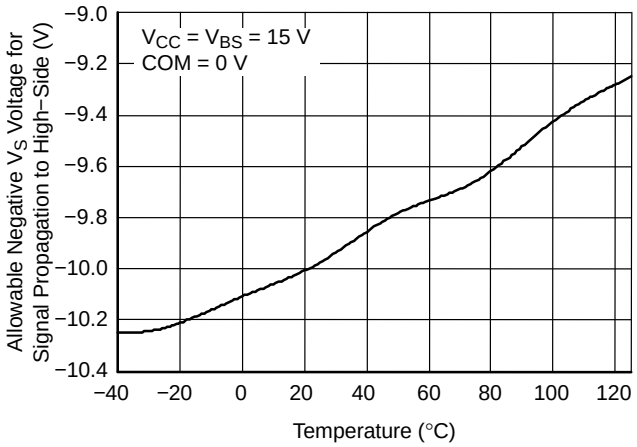


图 17. 信号传播到高侧时允许的 $V_S$ 负电压与温度的关系

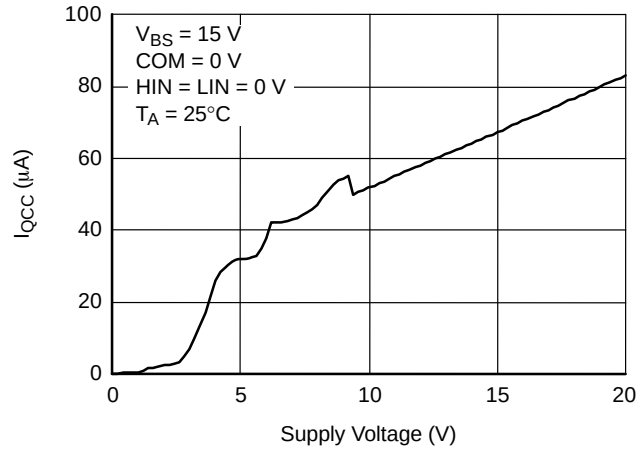


图 18. $I_{QCC}$ 与电源电压的关系

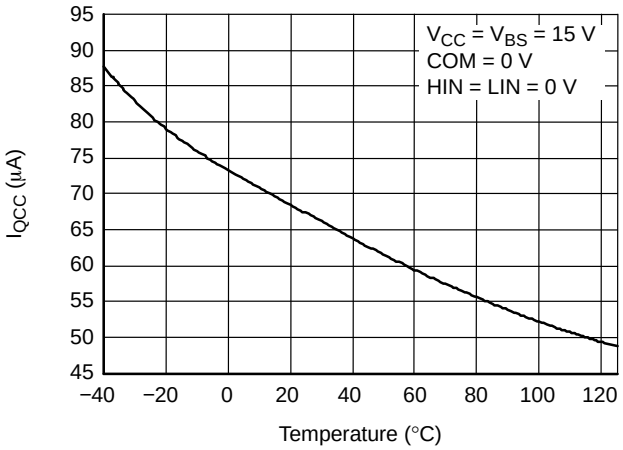


图 19. $I_{QCC}$ 与温度的关系

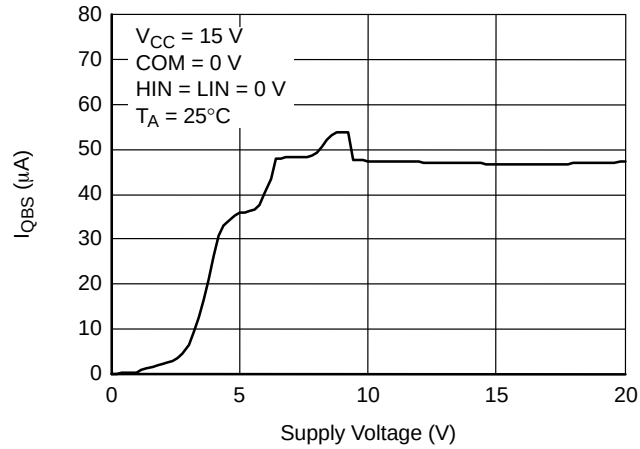


图 20. $I_{QBS}$ 与电源电压的关系

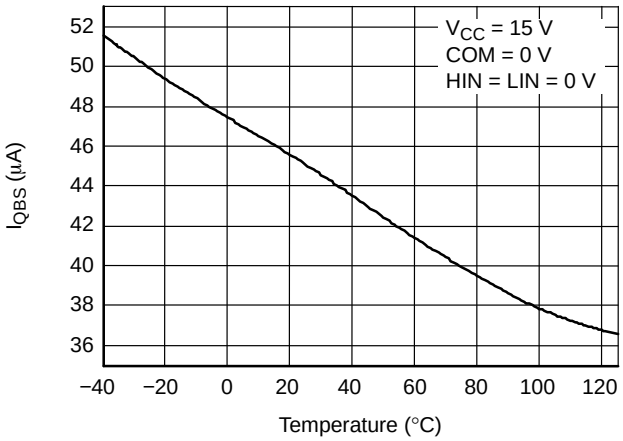


图 21. $I_{QBS}$ 与温度的关系

## 典型特性 (续)

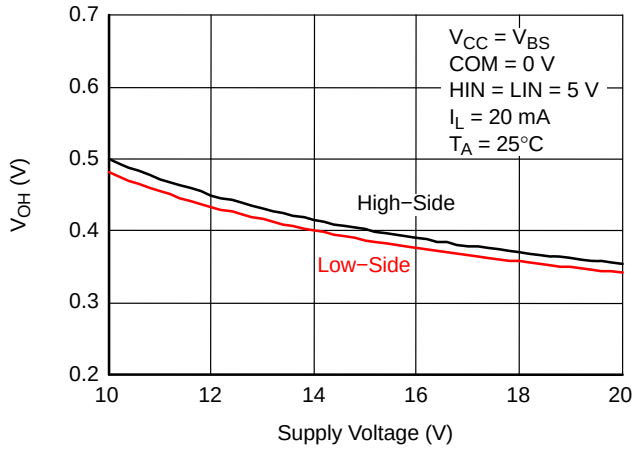


图 22. 高电平输出电压与电源电压的关系

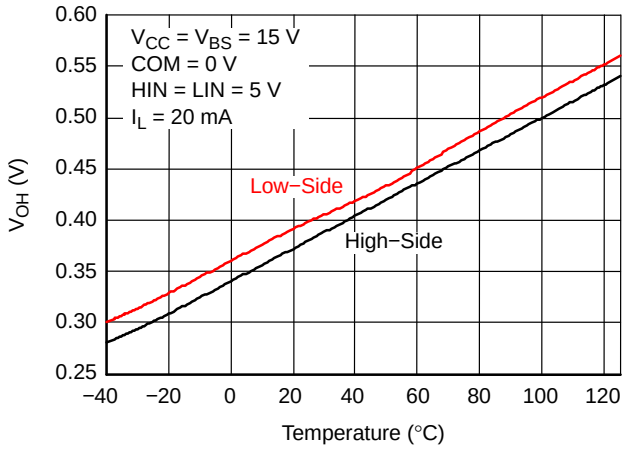


图 23. 高电平输出电压与温度的关系

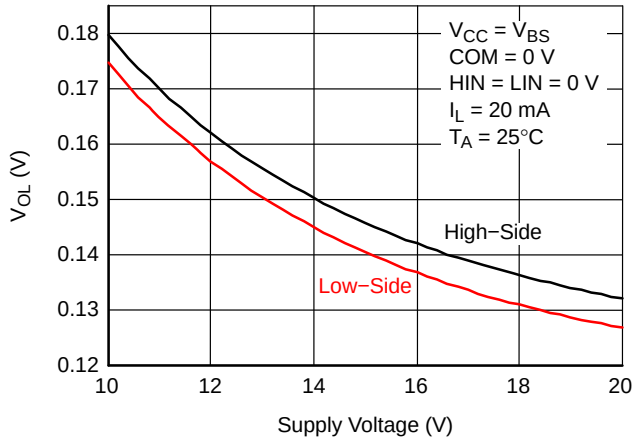


图 24. 低电平输出电压与电源电压的关系

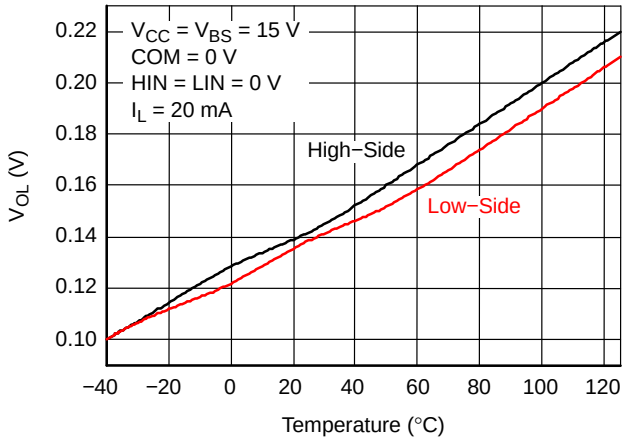


图 25. 低电平输出电压与温度的关系

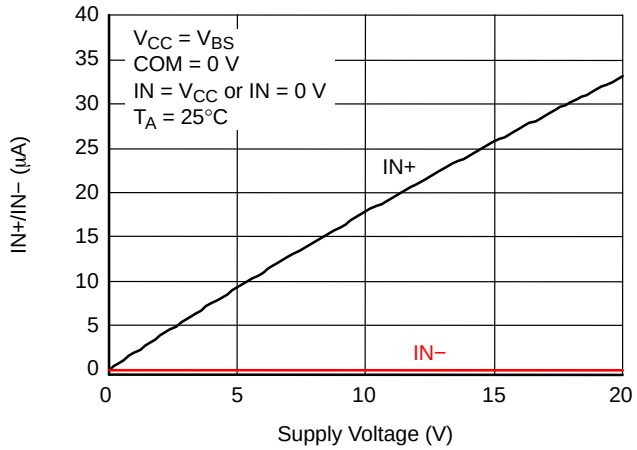


图 26. 输入偏置电流与电源电压的关系

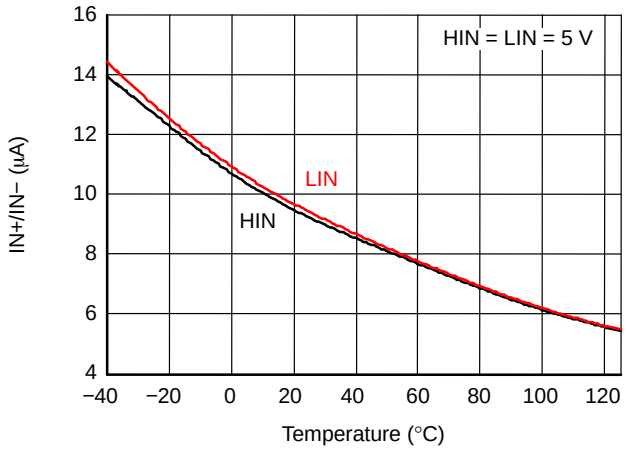


图 27. 输入偏置电流与温度的关系

## 典型特性 (续)

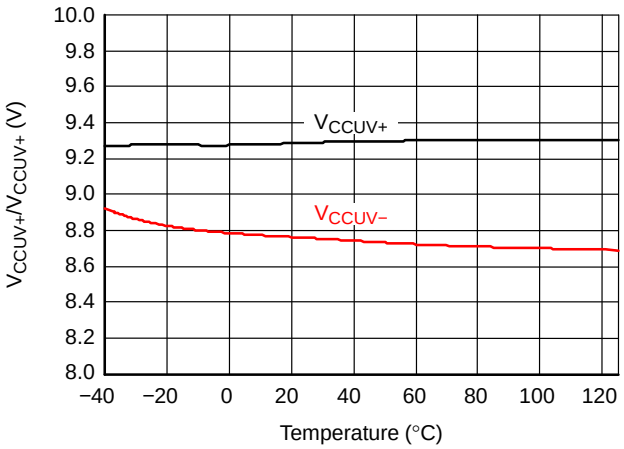


图 28. $V_{CC}$ 欠压锁定阀值电压与温度的关系

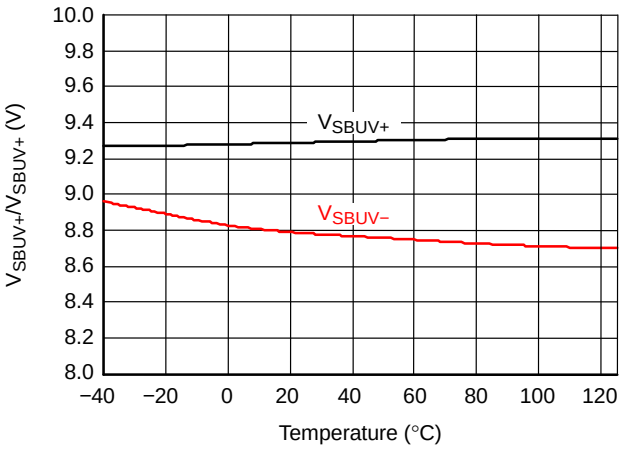


图 29. $V_{BS}$ 欠压锁定阀值电压与温度的关系

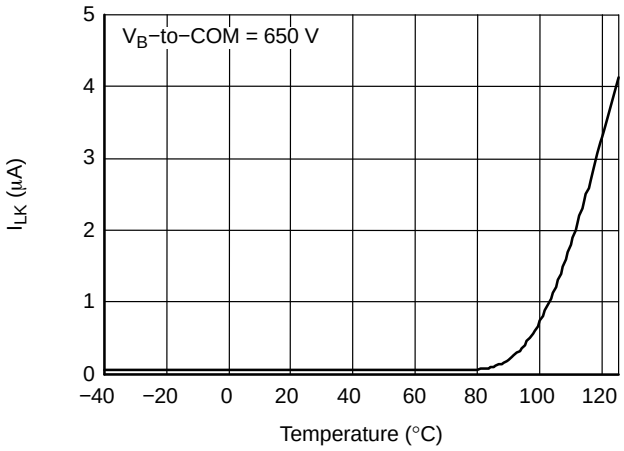


图 30. $V_B$ 至 COM 漏电流与温度的关系

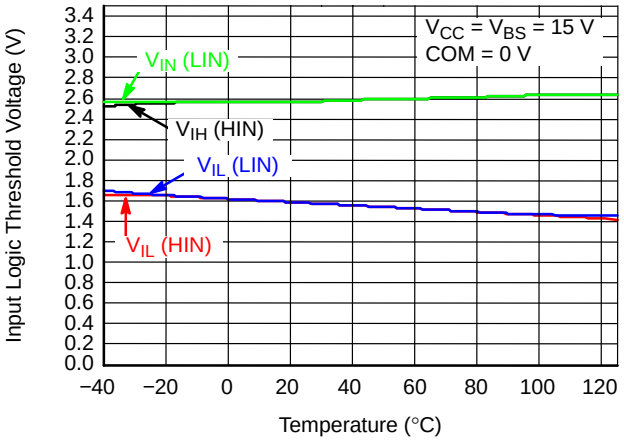


图 31. 输入逻辑阀值电压与温度的关系

## 应用信息

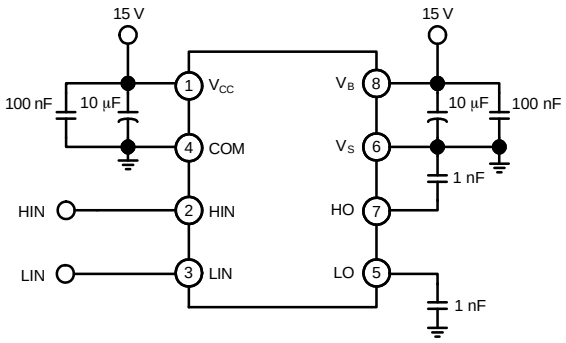


图 32. 开关时间测试电路

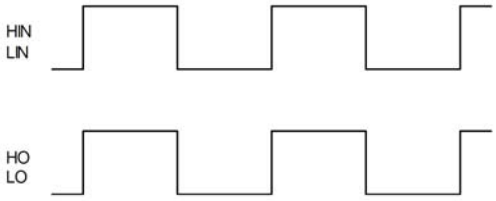


图 33. 输入 / 输出时序图

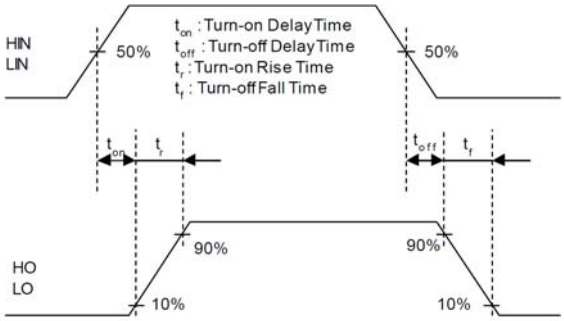


图 34. 开关时间波形定义

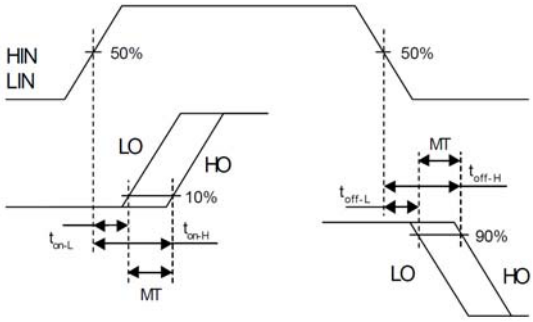


图 35. 延时匹配波形定义

### 订购信息

| 器件编号 | 封装 | 工作温度范围 | Shipping† |
|---|---|---|---|
| FAN7842MX (注 5) | SOIC8 (8−SOP)<br>(Pb−Free, Halide Free) | −40°C~+125°C | 3000 / Tape & Reel |

†For information on tape and reel specifications, including part orientation and tape sizes, please refer to our Tape and Reel Packaging Specifications Brochure, BRD8011/D.

5. 这些器件通过了 JESD22A−111 波峰焊测试。

**SOIC8**
CASE 751EG
ISSUE O

DATE 30 SEP 2016

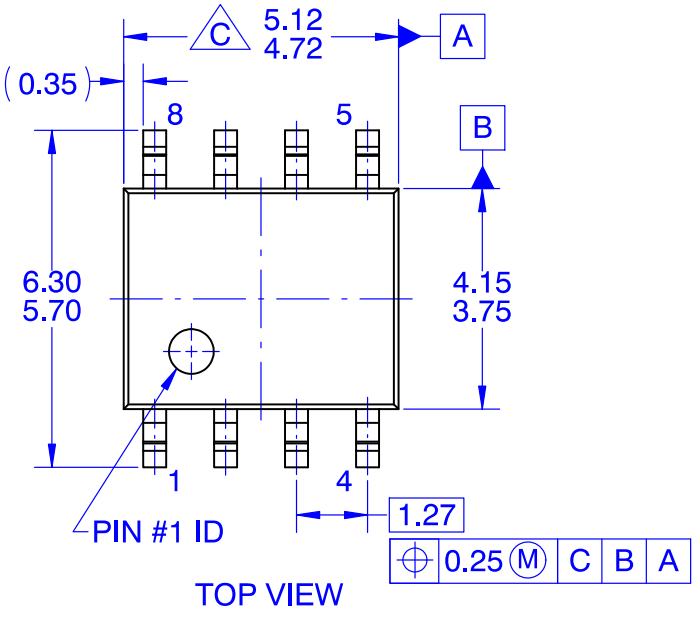


TOP VIEW

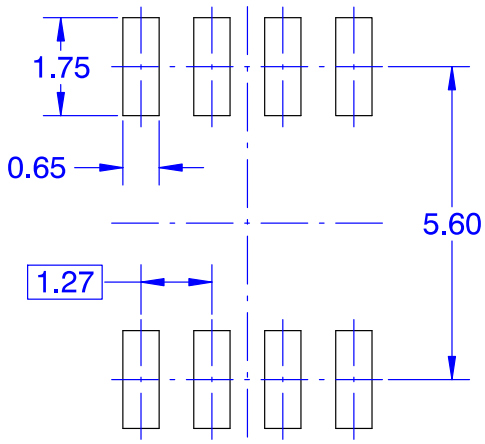


LAND PATTERN RECOMMENDATION

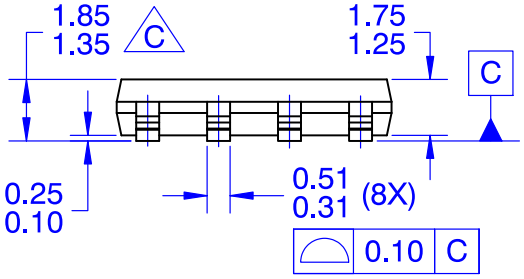


FRONT VIEW

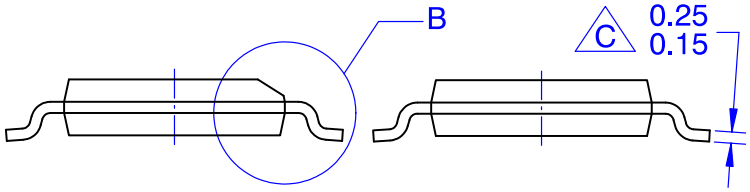


SIDE VIEW

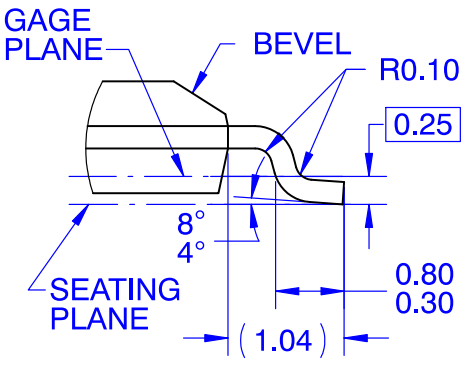


DETAIL "B"
SCALE 2:1

NOTES: UNLESS OTHERWISED SPECIFIED

A. THIS PACKAGE CONFORMS TO JEDEC MS–012 VARIATION A EXCEPT WHERE NOTED.
B. ALL DIMENSIONS ARE IN MILLIMETERS
C OUT OF JEDEC STANDARD VALUE
D. DIMENSIONS ARE EXCLUSIVE OF BURRS, MOLD FLASH AND TIE BAR EXTRUSIONS.
E. LAND PATTERN AS PER IPC SOIC127P600X175–8M

| | | |
|---|---|---|
| **DOCUMENT NUMBER:** | **98AON13741G** | Electronic versions are uncontrolled except when accessed directly from the Document Repository. Printed versions are uncontrolled except when stamped "CONTROLLED COPY" in red. |
| **DESCRIPTION:** | **SOIC8** | **PAGE 1 OF 1** |

## ADDITIONAL INFORMATION

**TECHNICAL PUBLICATIONS**:
**Technical Library:** www.onsemi.com/design/resources/technical−documentation
**onsemi Website:** www.onsemi.com

**ONLINE SUPPORT**: www.onsemi.com/support
**For additional information, please contact your local Sales Representative at** www.onsemi.com/support/sales